

بررسی اثرات رسوب بر عملکرد حرارتی بویلرهای بازیاب نیروگاه سیکل ترکیبی فارس

علی‌اکبر گلنshan^۱

نوید دلگرم^۲

سعید دلگرم^۳

^۱ استاد دانشکده‌ی مهندسی مکانیک، دانشگاه شیراز، ایران Golneshan110@yahoo.com

^۲ دانشجوی کارشناسی ارشد مهندسی مکانیک- تبدیل انرژی، دانشگاه تهران، ایران Navid.delgarm@ut.ac.ir

^۳ دانشجوی کارشناسی ارشد مهندسی برق- قدرت، دانشگاه تهران، ایران Saeed.delgarm@ut.ac.ir

چکیده

با توجه به نیاز روز افزون بشر به انرژی الکتریکی از یک سو و نیز کاهش منابع انرژی فسیلی در جهان از سوی دیگر، نیاز به استفاده بهینه از منابع انرژی مورد توجه جدی قرار گرفته است. در این راستا یکی از موثرترین سیستم‌های تبدیل انرژی حرارتی به انرژی الکتریکی، نیروگاه‌های سیکل ترکیبی می‌باشند. از آنجا که بویلر بازیاب حرارت (H.R.S.G.) نقشی کلیدی در عملکرد کلی نیروگاه‌های سیکل ترکیبی ایفا می‌کند، لذا بهینه‌سازی پارامترهای عملکردی بویلر بازیاب یکی از مهم‌ترین اقدامات در جهت افزایش راندمان حرارتی سیکل ترکیبی می‌باشد. در این پژوهش با استفاده از نرم-افزار MATLAB به بررسی معادلات پایستگی جرم و انرژی در اجزای مختلف بویلر بازیاب حرارت و نیز اثر رسوب‌زایی لوله‌های بویلر در کاهش ضربی کلی انتقال حرارت و کاهش راندمان بویلر بازیاب برداخته شد و در نهایت، هزینه و میزان انرژی تلف شده در مدت یک سال کارکرد نیروگاه برآورد شده است. نتایج نشان می‌دهد رفتار و عملکرد حرارتی بویلرهای بازیاب، بستگی شدید به میزان رسوب ایجاد شده ناشی از سیال گرم و سرد بر روی سطوح لوله‌ها دارد لذا با توجه به داده‌های نیروگاه، نگهداری و تعمیر منظم می‌تواند نقشی اساسی در افزایش راندمان بویلرهای بازیاب داشته و آنها را در شرایط کاری مناسب‌تری قرار دهد.

واژه‌های کلیدی: بویلر بازیاب حرارت، راندمان حرارتی، رسوب گذاری، سیکل ترکیبی، MATLAB

جدول ۱: فهرست علایم

\dot{Q}	نرخ انتقال حرارت، (kW)	علایم و اختصارات
R_f	مقاومت رسوب	سطح کلی انتقال حرارت، m^2
R_w	مقاومت دیوار لوله	سطح انتقال حرارت برای شرایط تمیز، m^2
T_g	دمای گاز، (K)	سطح انتقال حرارت برای شرایط کشیف، m^2
T_t	دمای کلی لوله، (K)	سطح انتقال حرارت دیوار لوله، m^2
T_f	دمای پره، (K)	ظرفیت گرمای ویژه فشار ثابت گاز، ($J/kg.K$)
T_∞	دمای محیط، (K)	ظرفیت گرمای ویژه فشار ثابت آب، ($J/kg.K$)
T_d	دمای خروجی توربین، (K)	قطر داخلی لوله، (m)
U	ضریب انتقال حرارت کلی، ($W/m^2 \cdot K$)	نرخ دی جرمی، ($kg/m^2.s$)
U_c	ضریب انتقال حرارت کلی برای شرایط تمیز، ($W/m^2 \cdot K$)	بویلر بازیاب حرارت
U_f	ضریب انتقال حرارت کلی برای شرایط کشیف، ($W/m^2 \cdot K$)	ارزش حرارتی پایین سوخت، (kJ/kg)
\dot{W}_{net}	توان خالص خروجی از ژنراتور، (kW)	فشار بالا
	علایم یونانی	آنتالپی، (kJ/kg)
δ_w	ضخامت دیوار	ضریب انتقال حرارت داخلی لوله، ($W/m^2 \cdot K$)
ε_g	ضریب تشعشع گاز	ضریب انتقال حرارت خارجی لوله، ($W/m^2 \cdot K$)
η	بازده	ضریب انتقال حرارت تشعشع، ($W/m^2 \cdot K$)
μ	گرانروی	ضریب انتقال حرارت جابه جایی، ($W/m^2 \cdot K$)
σ	ثابت استفان-بولتزمن	فشار متوسط
	زیرنویس ها	ضریب انتقال حرارت رسانش دیوار ($W/m.m.K$)
cc	محفوظه ای احتراق	ارتفاع پره، (m)
$conv$	جابه جایی	اختلاف دمای متوسط لگاریتمی
gen	ژنراتور	فشار پایین
i	داخلی	نرخ دی جرمی گاز، (kg/s)
o	خارجی	نرخ دی جرمی آب، (kg/s)
rad	تشعشع	نرخ دی جرمی دی اریتور، (kg/s)
s	بخار	نرخ دی جرمی سوخت اضافی اتلافی، (kg/s)
tot	کل	عدد ناسلت
		عدد پرانتل

۱- مقدمه

حرارتی بالاتر نسبت به سیکل بخار و یا سیکل گاز، افزایش یافته است. در این میان از جمله مهم‌ترین تجهیزات نیروگاه سیکل ترکیبی که نقشی کلیدی و بسیار مهم بر عملکرد کلی نیروگاه ایفا می‌کند، بویلر بازیاب حرارت^۱ (H.R.S.G.) می‌باشد. بویلر بازیاب حرارت نوعی مبدل حرارتی است که رابط سیکل گازی و سیکل بخار بوده و به عنوان قلب سیکل بخار عمل می-کند و با استفاده از گازهای گرم خروجی از توربین گاز، بخار مورد نیاز سیکل بخار را جهت تولید الکتریسیته فراهم می‌کند. بنابراین برای مبادله بیشترین مقدار انرژی حرارتی که منجر به افزایش عملکرد کلی سیکل ترکیبی می‌شود، بویلر بازیاب

با بروز بحران انرژی در نیمه دوم دهه ۱۹۷۰ میلادی ناشی از افزایش قیمت محصولات نفتی کشورهای صادر کننده و نیز با ضرورت مصرف انرژی به دلیل رشد جمعیت و توسعه‌ی صنایع، ضرورت صرفه‌جویی در مصرف انرژی مورد توجه جدی قرار گرفت. از این رو کشورهای صنعتی ضمن صرف هزینه‌های زیاد و تحقیقات گستره‌ده، مقررات و استانداردهای ویژه‌ای را جهت کاهش مصرف انرژی در بخش‌های مختلف تدوین و به کار گرفتند.

امروزه از جمله موثرترین سیستم‌های تبدیل انرژی برای تولید الکتریسیته، استفاده از فناوری سیکل ترکیبی می‌باشد. در چند دهه اخیر، شمار نیروگاه‌های سیکل ترکیبی به دلیل راندمان

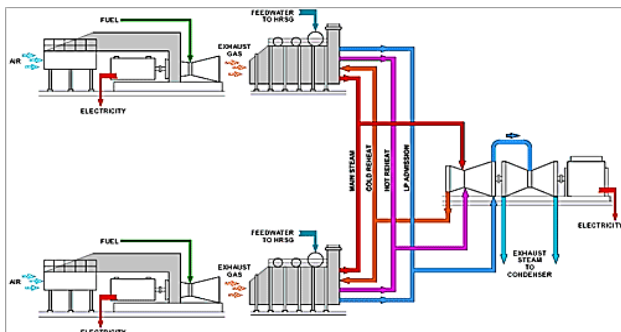
^۱ Heat Recovery Steam Generator

به بررسی رسو بذرات هماتیت تشکیل شده بر روی فولاد ضد زنگ و تاثیر آن بر غلظت، شار گرما و فشار پرداختند [۴]. کیتو، نشان داد که رسو بنازک و یکنواخت ایجاد شده در لوله‌های بویلر بازیاب با قطر بزرگ، در فشارهای زیر بحرانی اثر کمی در افت فشار اصطکاکی دارد در حالی که در فشارهای فوق بحرانی، رسو به طرز چشمگیری افزایش افت فشار را ایجاد می‌کند [۵]. گذاپسی، اثر رسو در هر دو طرف لوله بویلر بازیاب را مورد مطالعه قرار داد. نتایج نشان داد که رسو ایجاد شده سبب کاهش ضریب انتقال حرارت هدایت و در نتیجه کاهش تولید بخار و افزایش دمای گاز خروجی خواهد شد. همچنین درجه حرارت دیوار لوله به طور قابل توجهی افزایش می‌یابد که منجر به شکست لوله می‌شود [۶].

از بررسی تحقیقات انجام گرفته چنین بر می‌آید که علی‌رغم پژوهش‌های علمی فراوان بر روی جنبه‌های مختلف اثرات رسو بر عملکرد بویلرهای بازیاب حرارت، در زمینه اثرات رسو بر کاهش راندمان حرارتی نیروگاههای سیکل ترکیبی، به ندرت مورد توجه و مطالعه قرار گرفته است. هدف از این پژوهش، بررسی اثرات رسو بر لوله‌های بویلر بازیاب و نیز اثر آن بر افزایش سوخت مصرفی و کاهش راندمان حرارتی نیروگاههای سیکل ترکیبی می‌باشد.

۲- تحلیل ترمودینامیکی نیروگاه سیکل ترکیبی

شکل (۱) نمای شماتیک نیروگاه سیکل ترکیبی را نشان می‌دهد. بر اساس شکل (۱)، گازهای داغ خروجی از هر توربین گاز، وارد یک بویلر بازیاب حرارت شده و پس از فرایند انتقال حرارت بین گازهای داغ و آب درون لوله‌های بویلر بازیاب حرارت، از بویلر خارج گردیده و وارد محیط می‌شوند. حرارت گرفته شده از گازهای گرم موجب تولید بخار در هارپهای HP و IP می‌گردد و سپس به سمت توربین بخار هدایت شده و پس از خروج از توربین بخار در چگالنده تقطیر گشته و در نهایت توسط پمپ مجدداً به بویلر بازیاب حرارت برگشت داده می‌شود.



شکل ۱: شماتیک نیروگاه سیکل ترکیبی

حرارت می‌بایست به طور بسیار دقیق محاسبه و طراحی گردد و مورد بهره‌برداری و نگهداری قرار گیرد.

فرایند انتقال حرارت، میان گازهای داغ حاصل از احتراق (دود) و جریان آب درون لوله‌های بویلر بازیاب اتفاق می‌افتد. در گذر زمان به علت تجمع و نشست ذرات معلق موجود در گازهای داغ و نیز جریان سیال درون لوله، بر روی سطوح داخلی و خارجی لوله‌های بویلر بازیاب رسو^۱ تشکیل می‌گردد که اثر قابل توجهی بر فرایند انتقال حرارت می‌گذارد.

رسو بر روی سطوح انتقال حرارت تا به امروز نیز از جمله جدی‌ترین و مهم‌ترین مشکلات در تجهیزات انتقال حرارت به شمار می‌رود که در نتیجه آن، کاهش قابل توجه در سرعت جریان سیال، کاهش قابلیت اطمینان تجهیزات، کاهش دوره عمر، کاهش راندمان حرارتی و همچنین افزایش تلفات حرارتی، افزایش هزینه قیمت تمام شده محصولات و افزایش دمای سطح لوله را در پی خواهد داشت. لایه رسو خاصیت هدایت حرارتی کمی دارد لذا مقاومت در برابر انتقال حرارت را افزایش داده و بازده مبدل‌های حرارتی را کاهش می‌دهد. همچنین در نتیجه ایجاد رسو داخلی، سطح مقطع لوله کاهش یافته و منجر به افزایش افت فشار درون لوله می‌شود، بنابراین برنامه‌ریزی جهت نگهداری و تعمیرات و نیز شستشوی منظم بویلرهای بازیاب حرارت، یکی از مهم‌ترین اقدامات در جهت افزایش بهره‌وری بویلهای بازیاب می‌باشد.

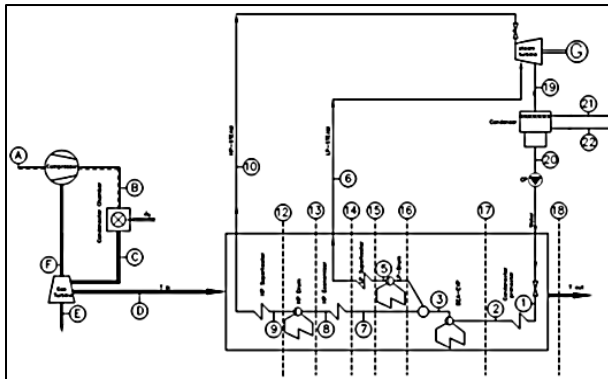
در سال‌های اخیر، بهبود عملکرد بویلرهای بازیاب حرارت مورد توجه پژوهشگران زیادی در سراسر دنیا قرار گرفته است و تا کنون چندین گزارش از اثر پدیده رسو زایی بر لوله‌های بویلرهای بازیاب، منتشر شده است.

مکبث و همکاران، اثر رسو به ضخامت ۰/۱ میلی‌متر از جنس مگنتیت متخلخل را بر روی لوله‌های بویلر بازیاب مورد مطالعه قرار دادند و در مقایسه با لوله تمیز، کاهش ۵ تا ۱۰ درصد شار حرارتی را مشاهده کردند [۱]. همچنین وی در مطالعه‌ای دیگر اثر رسوبات خام بر افت فشار اصطکاکی در لوله‌های با سطح مقطع حلقوی را مورد بررسی قرار داد و مشاهده کرد که رسوبات خام اثرات قابل توجهی در افت فشار جریان آب تک‌فاز دارد [۲]. گلیف و همکاران، به مطالعه اثرات رسو دی‌اکسید آهن بر روی ضریب هدایت دیوارهای لوله بویلر نیروگاه مرکزی کوناکوو پرداختند. نتایج نشان داد که با افزایش نرخ ضخامت رسو از ۲۰ تا ۸۰ درصد، ضریب انتقال حرارت هدایت رسوبات از ۰/۷ به ۰/۵۵ کاهش می‌یابد [۳]. میزوونو و همکاران،

^۱ Fouling

(۵) با توجه به این که قسمت عمدۀ سوخت مصرفی را متنان تشکیل می‌دهد، مقدار ارزش حرارتی پایین سوخت H_{LHV} را برابر با مقدار (KJ/Kg) 50000 در نظر گرفته شده است.

شکل (۳) نمای شماتیک نیروگاه سیکل ترکیبی فارس را نشان می‌دهد. بر اساس شکل (۳)، مدل‌سازی و معادلات حاکم بر قسمت‌های بویلر بازیاب حرارت از روابط (۱) الی (۸) بدست می‌آیند.



شکل ۳: شماتیک نیروگاه سیکل ترکیبی فارس

سوپر هیتر فشار بالا:

$$\dot{M}_g \times C_{p,g} \times (T_d - T_{12}) = \dot{M}_{s,HP} \times (h_{1.} - h_9) \quad (1)$$

اوپراتور فشار بالا:

$$\dot{M}_g \times C_{p,g} \times (T_{12} - T_{13}) = \dot{M}_{s,HP} \times (h_9 - h_8) \quad (2)$$

اکونومایزر فشار بالا:

$$\dot{M}_g \times C_{p,g} \times (T_{13} - T_{14}) = \dot{M}_{s,HP} \times (h_8 - h_7) \quad (3)$$

سوپر هیتر فشار پایین:

$$\dot{M}_g \times C_{p,g} \times (T_{14} - T_{15}) = \dot{M}_{s,LP} \times (h_7 - h_6) \quad (4)$$

اوپراتور فشار پایین:

$$\dot{M}_g \times C_{p,g} \times (T_{15} - T_{16}) = \dot{M}_{s,LP} \times (h_6 - h_5) \quad (5)$$

دی اریتور:

$$\dot{M}_g \times C_{p,g} \times (T_{16} - T_{17}) = \dot{M}_{s,LP} \times (h_5 - h_4) \quad (6)$$

پیش گرمکن:

$$\dot{M}_g \times C_{p,g} \times (T_{17} - T_{18}) = \dot{M}_{s,LP} \times (h_4 - h_3) \quad (7)$$

دبی جرمی بخار:

$$\dot{M}_s = \dot{M}_{s,LP} + \dot{M}_{s,HP} \quad (8)$$

برای بدست آوردن میزان دبی جرمی هوای ورودی به کمپرسور و دبی جرمی گازهای حاصل از احتراق ورودی به بویلر بازیاب حرارتی، ابتدا با استفاده از حجم کنترل برای سیکل گازی، معادله پایستگی جرم و انرژی را به صورت معادلات (۹) و (۱۰) می‌نویسیم:

پایستگی جرم:

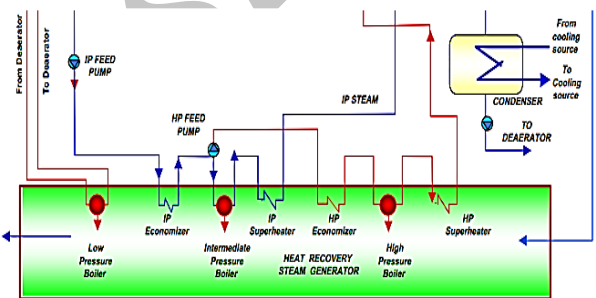
$$\dot{M}_{air} + \dot{M}_{fuel} = \dot{M}_{Gas} \quad (9)$$

۱-۲- معرفی نیروگاه سیکل ترکیبی فارس

نیروگاه سیکل ترکیبی فارس، در ۱۹ کیلومتری جنوب‌شرق شهر شیراز، در نزدیکی بخش اکبرآباد و در مختصات جغرافیایی ۵۲ درجه شرقی و ۲۹ درجه شمالی قرار دارد. این نیروگاه مشتمل بر ۶ واحد گازی هر یک با توان $۲۳/۴$ مگاوات، ۳ واحد بخار هر یک با توان $۹۸/۲$ مگاوات، ۶ واحد H.R.S.G. و ۳ واحد برج خنک کن هر بوده و نوع سوخت آن نیز گاز طبیعی و گازوئیل می‌باشد. ظرفیت اسمی کل این نیروگاه، $۱۰۳۵/۳$ مگاوات و ظرفیت عملیاتی آن نیز $۸۲۵/۷۵$ مگاوات می‌باشد.

۲-۲- مدل‌سازی بویلرهای بازیاب حرارت

شکل (۲) نمای شماتیک بویلر بازیاب حرارت را نشان می‌دهد. بر اساس شکل (۲)، بویلرهای بازیاب حرارت شامل سه قسمت IP، HP و LP بوده که قسمت‌های IP و HP خود نیز شامل سه قسمت اکونومایزر، اوپراتور، سوپرھیتر می‌باشد.



شکل ۲: شماتیک بویلر بازیاب حرارت

با توجه به شکل (۲)، با استفاده از قوانین پایستگی جرم و انرژی در بویلرهای بازیاب حرارت، مقدادر آنتالپی، دما، فشار، ضریب انتقال حرارت کلی، بازده و درنهایت هزینه و میزان انرژی حرارتی تلف شده در تمامی قسمت‌های بویلر بازیاب حرارت، در مدت یک سال کارکرد نیروگاه برآورد شده است. فرضیات به کار گرفته شده در مدل‌سازی بویلرهای بازیاب حرارت عبارتند از:

(۱) توربین، کمپرسور و پمپ آدیباتیک عمل می‌کنند.

(۲) هوا و گازهای ناشی از احتراق به صورت گاز ایده‌آل در نظر گرفته شده‌اند.

(۳) جریان سیال پایا و تغییرات انرژی جنبشی و پتانسیل ناچیز فرض شده‌اند.

(۴) به علت وجود اتلافاتی که در محفظه احتراق و ژنراتور وجود دارد، بازده محفظه احتراق و ژنراتور، به ترتیب 0.98 و 0.95 در نظر گرفته شده است.

^۱Economizer
^۲Evaporator
^۳Super heater

$$h_c = C_1 C_r C_d \times \left(\frac{d_o + r L_f}{d_o} \right)^{-\alpha} \times \left(\frac{T_g}{T_f} \right)^{-\beta} \times G \times C_{p,g} \times \left(\frac{K}{C_{p,g} \times \mu} \right)^{\gamma} \quad (22)$$

در رابطه (۲۲) ضرایب C_1 , C_r و C_d از [۷] بدست می‌آیند.
بر اساس معادله (۱۵)، رابطه میان ضرایب انتقال حرارت کلی و مقاومت گرمایی برای سطوح انتقال حرارت تمیز و کثیف، به ترتیب از روابط (۲۳) و (۲۴) بدست می‌آیند:

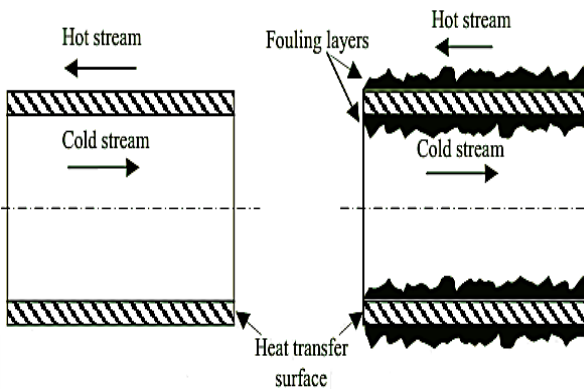
$$\frac{1}{U_c} = \frac{1}{h_{o,f}} + R_w \times \frac{A_i}{A_w} + \frac{1}{h_{i,f}} \times \frac{A_o}{A_i} \quad (23)$$

$$\frac{1}{U_f} = \frac{1}{h_{o,f}} + R_f + R_w \times \frac{A_i}{A_w} + \frac{1}{h_{i,f}} \times \frac{A_o}{A_i} \quad (24)$$

در شرایط ایده‌آل شاهد برقراری روابط (۲۵) خواهیم بود که در این حالت، مقاومت رسوب از معادله (۲۶) بدست خواهد آمد:

$$h_{o,f} = h_{o,c}, \quad h_{i,f} = h_{i,c}, \quad A_{o,f} = A_{o,c}, \quad A_{i,f} = A_{i,c} \quad (25)$$

$$R_f = \frac{1}{U_f} - \frac{1}{U_c} \quad (26)$$



شکل ۴: لوله تمیز (سمت چپ) و لوله رسوب گرفته شده (سمت راست)



شکل ۵: لوله رسوب گرفته شده

پایستگی انرژی:

$$\dot{M}_{air} \times h_{air} + \eta_{cc} \times \dot{M}_{fuel} \times H_{LHV} = \dot{M}_g \times h_g + \dot{W}_{net} / \eta_{gen} \quad (10)$$

با جایگزینی معادله موازنی جرم (۹) در معادله انرژی (۱۰)، میزان دبی جرمی هوای ورودی به کمپرسور را بدست آورده و سپس با جمع دبی جرمی هوای ورودی با دبی جرمی سوخت ورودی، دبی جرمی ورودی گازهای حاصل از احتراق به بویلر بازیاب حرارت بدست می‌آید.

۳-۲- گرمای مبادله شده در بویلر بازیاب حرارت

موازنی انرژی، در همه سطوح انتقال حرارت میان سیال گرم (گازهای داغ حاصل از احتراق) و سیال سرد (آب درون لوله‌ها) به صورت روابط (۱۱) و (۱۲) بیان می‌شود:

$$\dot{Q} = \dot{M}_g \times C_{p,g} \times (T_{g,i} - T_{g,o}) \quad (11)$$

$$\dot{Q} = \dot{M}_w \times C_{p,w} \times (T_{w,o} - T_{w,i}) \quad (12)$$

در این پژوهش، برای بدست آوردن گرمای مبادله شده بین گازهای داغ حاصل از احتراق و آب درون لوله‌ها، از روش اختلاف دمای متوسط لگاریتمی (LMTD) استفاده شده است. بنابراین انتقال حرارت سطوح از رابطه (۱۳) بدست می‌آید:

$$\dot{Q} = UA\Delta T_{LMTD} \quad (13)$$

اختلاف دمای متوسط لگاریتمی و ضریب کلی انتقال حرارت به ترتیب از معادلات (۱۴) و (۱۵) بدست می‌آیند:

$$\Delta T_{LMTD} = \frac{(T_{g,i} - T_{w,i}) - (T_{g,o} - T_{w,o})}{\ln \left[\frac{T_{g,i} - T_{w,i}}{T_{g,o} - T_{w,o}} \right]} \quad (14)$$

$$\frac{1}{U_i} = \frac{1}{h_i} + R_{f,i} + R_{f,o} \times \frac{A_i}{A_o} + \frac{\delta_w}{K_w} \times \frac{A_i}{A_w} + \frac{1}{h_o} \times \frac{A_i}{A_o} \quad (15)$$

$$\frac{1}{U_i} = \frac{1}{h_i} + R_f + R_w \times \frac{A_i}{A_w} + \frac{1}{h_o} \times \frac{A_i}{A_o} \quad (16)$$

$$R_f = R_{f,i} + R_{f,o} \times \frac{A_i}{A_o} \quad (17)$$

$$h_i = \frac{Nu \times K_w}{d_i} \quad (18)$$

$$Nu = \dots \times Re^{\alpha} \times Pr^{\beta} \quad (19)$$

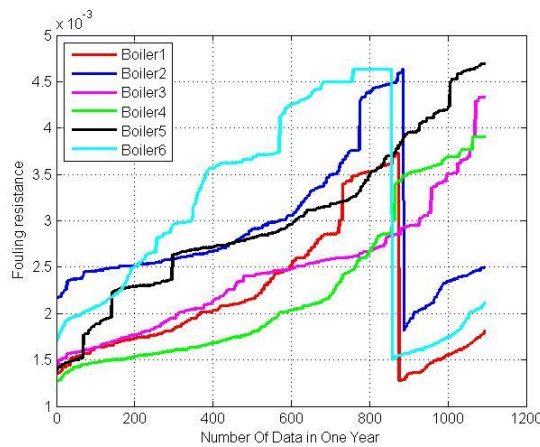
$$h_r = h_r + h_c \quad (20)$$

$$h_r = \sigma \times \varepsilon_g \times \frac{T_g^{\gamma} - T_t^{\gamma}}{T_g - T_t} \quad (21)$$

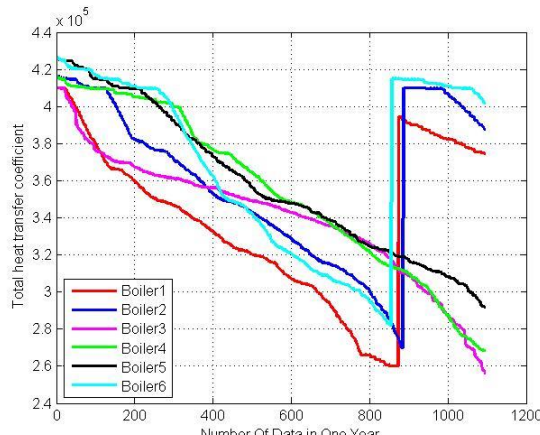
۳- نتایج و بحث

به دلیل اینکه داده‌های نیروگاه سیکل ترکیبی فارس، به صورت لحظه‌ای بر روی یک Hard Disk ذخیره می‌شوند، برای دقت کافی جهت تحلیل عملکرد حرارتی بویلهای بازیاب (H.R.S.G.)، اطلاعات مورد نیاز مربوط به کارکرد شش واحد گازی، شش واحد H.R.S.G. و سه واحد بخار در ساعت ۱۵، ۶ و ۲۱ در طی یک سال جمع‌آوری نمودیم.

در این مطالعه، از بین شش واحد H.R.S.G.، بویلهای شماره ۱، ۲ و ۶ مورد شیوه‌نامه و رسوب‌زدایی قرار گرفتند. در ادامه، نمودارهای تغییرات مقاومت رسوب، ضریب انتقال حرارت کلی، تغییرات سوخت مصرفی، تغییرات دمای خروجی H.R.S.G.، تغییرات مقدار هوای ورودی به کمپرسور و نیز بازده (۳) تا (۸) ارائه شده‌اند:



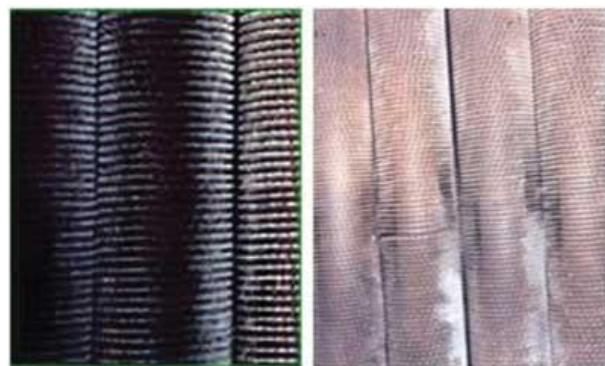
شکل ۳: تغییرات مقاومت رسوب بر حسب زمان



شکل ۴: تغییرات ضریب کلی انتقال حرارت بر حسب زمان



شکل ۶-الف: لوله کثیف و رسوب گرفته شده (قبل از شستشوی)



شکل ۶-ب: لوله تمیز و رسوب زدایی شده (بعد از شستشوی)

۴-۲- حرارت اتلافی از بویلهای بازیاب حرارت
حرارت اتلافی از بویلهای بازیاب حرارت از رابطه (۲۷) بدست می‌آید:

$$\dot{Q}_{loss} = (\dot{M}_g \times h_g)_{in} - (\dot{M}_g \times h_g)_{out} - (\dot{M}_{HP} \times h_{HP} + \dot{M}_{IP} \times h_{IP}) + (\dot{m}_{LP} \times h_{LP}) \quad (27)$$

این حرارت اتلافی از بویلهای بازیاب به صورت تشعشع، جابه‌جایی و انرژی ناشی از جرم سیال خروجی از دیاریتور ظاهر می‌شود، بنابراین می‌توان حرارت اتلافی از بویلهای بازیاب را نیز از رابطه (۲۸) بدست آورد:

$$\dot{Q}_{loss} = \dot{m}_{DA} \times h_g + \dot{Q}_{rad} + \dot{Q}_{conv} \quad (28)$$

۵-۲- راندمان حرارتی بویلهای بازیاب
راندمان حرارتی بویلهای بازیاب از رابطه (۲۹) بدست می‌آید:

$$\eta_{HRSG} = \frac{\dot{Q}_{steam}}{\dot{Q}_{HRSG,supplied}} \quad (29)$$

$$\dot{Q}_{steam} = (\dot{M}_{HP} \times h_{HP} + \dot{M}_{IP} \times h_{IP}) - (\dot{M}_{LP} \times h_{LP}) \quad (30)$$

$$\dot{Q}_{HRSG,supplied} = M_g \times C_{p,g} \times (T_{g,i} - T_{\infty}) \quad (31)$$

همان‌گونه که از نمودار شکل (۳) مشاهده می‌شود بر اثر رسوب‌گذاری در لوله‌های بویلر بازیاب، ضریب کلی انتقال حرارت، شکل (۴)، و راندمان حرارتی بویلر بازیاب، شکل (۵)، کاهش یافته است. شکل (۶) میزان هوا ورودی به کمپرسور هر واحد گازی را بر حسب زمان نشان می‌دهد. به خوبی می‌توان از شکل‌های (۶) و (۷) مشاهده کرد که برای تولید انرژی الکتریکی یکسان، از واحدهای بویلر شستشو نشده (واحدهای ۱، ۲، ۳، ۴ و ۵) در مقایسه با واحدهای بویلر شستشو شده (۱، ۲ و ۶)، لازم است میزان بیشتری سوخت مصرف و به تبع آن میزان بیشتری هوا وارد کمپرسور گردد. با توجه به آن که بویلرهای شماره ۱، ۲ و ۶ مورد شستشو قرار گرفته‌اند، تاثیر شستشوی منظم لوله‌ها، نگهداری و تعمیر بویلر بر افزایش ضریب کلی انتقال حرارت و نیز افزایش راندمان حرارتی بویلر بازیاب کاملاً مشهود است.

میزان انرژی حرارتی اضافی مصرف شده سالانه برای تولید گرمای مورد نیاز جهت تولید بخار در بویلرهای شستشو نشده در مقایسه با تولید همان حجم بخار در بویلرهای شستشو شده از رابطه‌ی (۳۲) بدست می‌آید:

$$Q_{excess} = \Delta m_{cc-tot} \times \eta_{cc} \times \text{ثانیه} \times \text{ساعت} \times \text{روز} \times \text{ماه} \times \text{سال} \quad (32)$$

$$\Delta m_{cc-tot} = \sum_{i=1}^6 \Delta \dot{m}_{cci} = \Delta \dot{m}_{cc1} + \Delta \dot{m}_{cc2} + \Delta \dot{m}_{cc3} + \Delta \dot{m}_{cc4} + \Delta \dot{m}_{cc5} + \Delta \dot{m}_{cc6} = 5/71 \left(\frac{\text{kg}}{\text{s}} \right) \quad (33)$$

در رابطه‌ی (۳۳)، مجموع سوخت مصرفی اضافی در واحدهای محفظه احتراق می‌باشد که برای هر واحد، سوخت اضافی مصرف شده به قرار زیر می‌باشد:

$$\Delta \dot{m}_{cc1} = 0/6 \left(\frac{\text{kg}}{\text{s}} \right) \quad \Delta \dot{m}_{cc2} = 0/79 \left(\frac{\text{kg}}{\text{s}} \right)$$

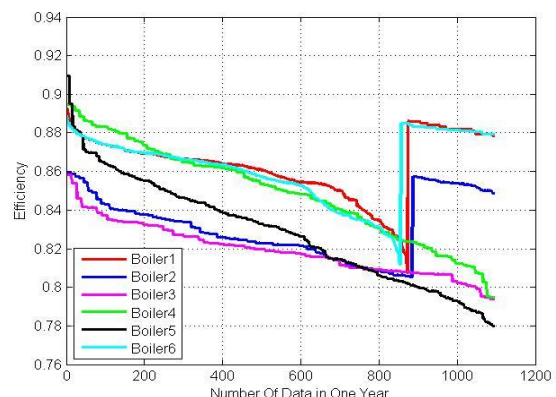
$$\Delta \dot{m}_{cc3} = 1/46 \left(\frac{\text{kg}}{\text{s}} \right) \quad \Delta \dot{m}_{cc4} = 0/56 \left(\frac{\text{kg}}{\text{s}} \right)$$

$$\Delta \dot{m}_{cc5} = 1/34 \left(\frac{\text{kg}}{\text{s}} \right) \quad \Delta \dot{m}_{cc6} = 0/95 \left(\frac{\text{kg}}{\text{s}} \right)$$

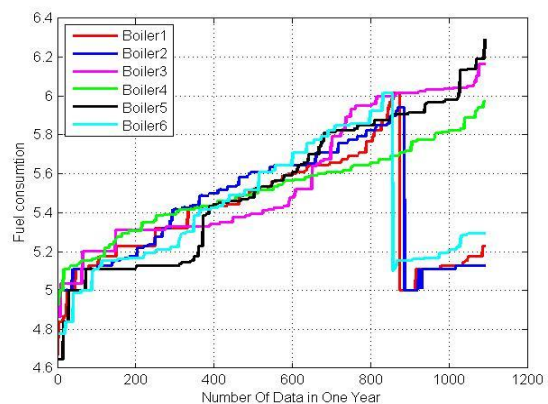
با جایگذاری مقادیر فوق در معادله (۳۲)، مقدار انرژی حرارتی تلف شده سالانه را به صورت رابطه (۳۴) خواهیم داشت:

$$Q_{excess} = 5/71 \left(\frac{\text{kg}}{\text{s}} \right) \times 5 \dots \left(\frac{\text{kJ}}{\text{Kg}} \right) \times 1 \times 12 \times 30 \times 24 \times 3600 \times 0/98 = 8/74 \times 10^{12} (\text{kJ}) \quad (34)$$

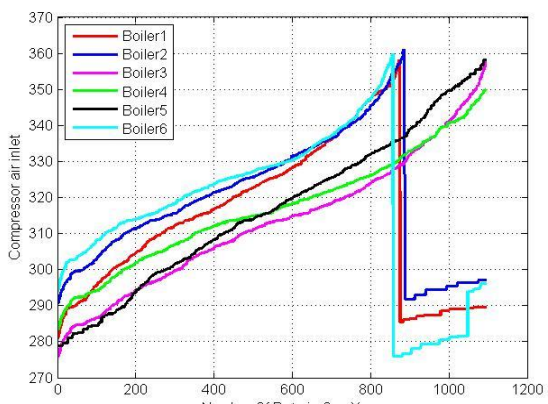
همان‌طور که مشاهده می‌شود، نسبت مجموع دبی اضافی سوخت مصرفی به مجموع کل دبی میانگین ۶ واحد بویلر در حدود ۰/۱۶ می‌شود و این بیانگر آن است که پدیده رسوب‌زایی



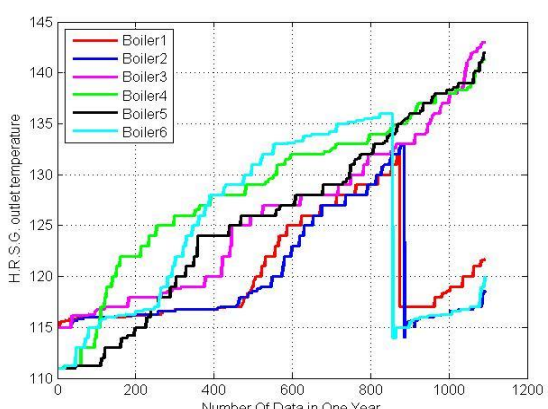
شکل ۵: تغییرات بازده (efficiency) بر حسب زمان



شکل ۶: تغییرات میزان سوخت مصرفی بر حسب زمان



شکل ۷: تغییرات میزان هوا ورودی به کمپرسور بر حسب زمان



شکل ۸: تغییرات میزان دمای خروجی H.R.S.G. بر حسب زمان

تشکر و قدردانی

لازم می‌دانیم از زحمات و حمایت‌های مدیریت محترم نیروگاه سیکل ترکیبی فارس که ما را در انجام این پژوهش یاری نموده و اطلاعات فنی مورد نیاز را در اختیارمان قرار داده است، تشکر و قدردانی نماییم.

مراجع

- [۱] Macbeth R. V., R. Trenberth, and R. W. Wood, "An Investigation into Effect of Crud Deposits on Surface Temperature Dry-out and Pressure Drop, with Forced Convection Boiling of Water at ۶۹ Bar", Rep. No. AEEW-R ۷۰۵, ۱۹۷۱.
- [۲] Macbeth, R. V., "The Effect of Crud Deposits on the Frictional Pressure Drop in Boiling Channel", Rep. No. AEEW-R ۷۶۷, ۱۹۷۲.
- [۳] Gelbov V. P., N. B. Esten, V. M. Zusman, and A. L. Luby, "Heat Conduction of Iron Oxide Deposits in Tubes Radiant Heating Surfaces in Supercritical Steam Generators", Thermal Engineering, Vol. ۲۵, No. ۴, pp. ۳۶-۴۴, ۱۹۷۸.
- [۴] Minzo T., K. Wada, and T. Iwahori, "Deposition Rate of Suspended Hematite in a Boiling Water System under BWR Conditions", Corrosion NACE, Vol. ۳۸, No. ۱, pp. ۱۵-۱۹, ۱۹۸۲.
- [۵] Kitto J. B., and M. J. Alberech, "Elements of Two-Phase Flow in Fossil Boilers", Two-Phase Flow Heat Exchangers, Vol. ۱۴۳, ۱۹۸۸.
- [۶] Ganapathy V., "Fouling in Waste Heat Boilers", Internet, publication, ۱۹۹۸.
- [۷] V. Ganapathy, Industrial Boilers and Heat Recovery Steam Generators, Marcel Dekker ۲۰۰۳
- [۸] A.K.Tiwari, Mohd Islam and M.N.Khan," Thermodynamic Analysis of Combined Cycle Power Plant", International Journal of Engineering Science and Technology Vol. ۲(۴), ۴۸۰-۴۹۱, ۲۰۱۰.
- [۹] Ramesh K. Shah and Dušan P. Sekulic," fundamentals of heat exchanger design", John Wiley and sons, New York, ۲۰۰۳
- [۱۰] Rasool. Bharampoury and Ali. Behbahaninia," Thermodynamic Comparison of Arrangements of Pressure Parts in a DoublePressure Heat Recovery Steam Generator", Electric power generation Conference, ۲۰۰۹

سبب شده است که برای تولید انرژی الکتریکی یکسان از واحدهای بویلر، سالانه در حدود ۱۶ درصد سوخت اضافی مصرف گردد. با محاسبه مقدار سوخت اضافی مصرف شده سالانه ناشی از پدیده رسوب‌زایی در بویلهای بازیاب، به میزان (kg) 176469148.8 ، برابر $m^3 ۳۹۲۱۵۳.۶۶۴$ سوخت که معادل هدر رفت (j) ۸.۷۴×10^{۱۲} انرژی حرارتی می‌باشد، تلف شده است. با فرض هزینه سوخت گاز مصرفی ۸۰۰ ریال به ازای هر مترمکعب، با شستشوی سطوح لولهای بویلر بازیاب حرارت (اسید شویی)، به میزان ۳۱۳۷۲۲۹۳۱.۲ ریال در هزینه سوخت صرفه‌جویی خواهد شد.

بنابراین مدیریت و برنامه‌ریزی بهینه و پایدار جهت نگهداری و تعمیرات بویلهای بازیاب حرارت در طی دوره عمر آنها می‌تواند بویلهای را در شرایط عملکردی بهینه قرار داده و از تلفات انرژی به میزان قابل توجه‌ای جلوگیری نماید.

۴- نتیجه‌گیری

در این مقاله، با استفاده از قوانین ترمودینامیکی پایستگی جرم و انرژی، بویلهای شش گانه‌ی نیروگاه سیکل ترکیبی فارس به کمک نرم‌افزار MATLAB، مدل گردید و به بررسی دبی جرمی گازهای داغ حاصل از احتراق ورودی به هر بویلر بازیاب حرارت (H.R.S.G.)، نحوه تغییرات دمای گاز از ورودی تا خروجی (H.R.S.G.)، محاسبه‌ی انتقال حرارت بین گازهای حاصل از احتراق و آب ورودی به H.R.S.G. جهت تولید بخار، تعیین اختلاف دمای میانگین لگاریتمی (ΔT_{LMTD}). محاسبه‌ی مقدار ضریب انتقال حرارت کلی برای هر کدام از هارپهای H.R.S.G. پرداخته شد و در نهایت راندمان کلی H.R.S.G. محاسبه گردید.

نتایج نشان داد که کاهش راندمان حرارتی بویلهای بازیاب نیروگاه سیکل ترکیبی فارس در نتیجه‌ی رسوب‌زایی لوله‌ها بوده است. بنابراین رفتار و عملکرد حرارتی بویلهای بازیاب، بستگی شدید به میزان رسوب ایجاد شده ناشی از سیال گرم و سرد بر روی سطوح لوله‌ها دارد و در شرایط تمیز، H.R.S.G. به طور موثرتری عمل می‌کند. لذا با توجه به داده‌های نیروگاه، نگهداری و تعمیر به موقع و دوره‌ای بویلهای بازیاب می‌تواند نقشی اساسی در افزایش راندمان آنها داشته باشد و بویلهای بازیاب را در شرایط کاری مناسب‌تری قرار دهد.